

دراسة كثافة الغطاء النباتي والتلوّح العمراني على الأراضي الزراعية باستخدام تقانات الاستشعار عن بعد ونظم المعلومات الجغرافية في ناحية الصقلاوية.

أحمد مدلوـل الكبيـسي* زـيـاد فـرـحان اـهـمـد*

* جامعة الانبار - كلية الزراعة

** مديرية بلدية الفلوجة

E-mail: ahmedmidlool@yahoo.com

الكلمات المفتاحية: الاستشعار عن بعد، الصقلاوية، الإرجاع الجغرافي، نظم المعلومات الجغرافية.

تاريخ القبول: 2016/10/6

تاريخ الاستلام: 2016/7/26

الخلاصة

استخدمت ثلاثة مركبات فضائية مأخوذة بالمتخصصين OLITM والمحمولين على متن القمر الأمريكيين لاندسات-5 ولاندسات-8، حسب الترتيب وللأعوام 1984 و2000 و2015 خلال الموسمين الربيعي بهدف دراسة الغطاء النباتي والتلوّح العمراني في منطقة الصقلاوية. أجريت بعض المعالجات الأساسية على المركبات متعددة الأزمنة والخاصة بتحسين المركبات الفضائية. استخدم تطبيق التقسيم البصري، والتصنيف غير المراقب، وبعض الدلائل الطيفية لتشخيص الأغطية الأرضية الموجودة في منطقة الدراسة وحساب مساحتها ونسبة خالل الأعوام الثلاث المذكورة أعلاه. تم تنفيذ عملية التصنيف غير المراقب، ولحساب قيم كل من دليل الفرق الطبيعي للغطاء النباتي، ودليل الإظهار العالمي للأبنية تم الاستعانة ببرنامج Arc GIS Version 10.2 Arc. واستخدم نفس البرنامج لتحويل الخارطة الطوبوغرافية لمنطقة الدراسة إلى خارطة رقمية من خلال عملية الإرجاع الجغرافي (Georeferences)، وإنتاج الخرائط الهاينية للغطاء النباتي، والرمح العراني لمنطقة الدراسة وللأعوام الثلاث السابقة. أظهرت النتائج تفوق التقسيم البصري على التقسيم المنخفضة في عزل أصناف أغطية الأرض باستخدام مركبات ذوات قدرة تمييز منخفضة. وذلك أثبتت الدراسة عدم كفاءة مركبات TM ذات قدرات التمييز المنخفضة نسبياً في عزل صنف الأبنية مقارنة بمركبات OLI ذات قدرة التمييز المرتفعة نسبياً. وبينت الدراسة وجود تباين في المساحات المحسوبة بطرق التقسيم البصري والتصنيف غير المراقب واستخدام الأدلة الطيفية. وكذلك أظهرت الدراسة كفاءة دليل الفرق الطبيعي للغطاء النباتي في عزل صنف الغطاء النباتي، في حين لم يثبت دليل الإظهار العالمي للأبنية كفاءة في عزل صنف الأبنية على المركبات.

STUDY VEGETATION COVER DENSITY AND URBANIZATION OF AGRICULTURAL LAND BY USING THE TECHNIQUES OF REMOTE SENSING AND GEOGRAPHIC INFORMATION SYSTEMS IN SAQLAWIA CITY

Ahmed M.Mohammed* Zeyad F.Ahmed**

*University of Anbar – College of Agriculture

** Al – Falluja Municipali

Email: ahmedmidlool@yahoo.com

Keyword: Remote Sensing,Saqlawia, Georeferences, Geographic Information System.

Received:26/7/2016

Accepted:6/10/2016

Abstract:

Using a three visual satellite taken by TM and OLI sensors loaded on the US Landsat-5 and Landsat -8, for the years 1984, 2000 and 2015 year during the spring season to Study Vegetation Cover density and Urbanization in Saqlawia city. Some basic treatments conducted at the multiple times images for enhancement of these images. visual Interpretation, Unsupervised Classification and Spectral indices methods were used to identify different land Covers and their areas at the three years mentioned above. Method were used; visual interpretation, unsupervised classification, and some spectroscopic indices for the diagnosis of the existing land coverage in the study area and calculate the area and their proportions during the three years mentioned above. The program ERDAS (Ver.14.00.0) Program was used to achieve Unsupervised Classification, and to Calculate the values of Normalized Differential Vegetation Index (NDVI) and the World View of Buildings Index (WV-BI), was used Arc GIS (Ver.10.2) Program. The last Program also was used to Convert the topographic map of study area to digital map through projection

process(Georeferences).Arc GIS program was also used to produce the final maps for vegetation cover and urban cover of the study for the above mentioned years. The study showsDigital interpretation was the best for land cover identification in compare with visual interpretation.

TM images were inefficient to identify urban cover in compare OLI images. Calculated areas by visual interpretation, unsupervised classification and using Spectral indices were different.and NDVI was more efficient to identify vegetation cover, while WV-BI was inefficient to identify urban cover

للمرين لاندستات 7 و 8، حسب الترتيب، كانت مفيدة في الكشف عن زيادة في مساحة البناء على حساب الأرضي الزراعية. وللكشف عن التوسع العماني على حساب مساحات الغطاء النباتي والبساتين في مدينة كوالامبور بـ ماليزيا، استخدم Boori, et. al, 2015 مرئيات TM و OLI و ETM⁺، للأقمار لاندستات 5 و 7 و 8، حسب الترتيب. وتهدف هذه إلى تشخيص مظاهر التصحر وحساب مساحات الأرضي المتاثرة به خلال الفترة من 1984-2015 باستخدام تقانات الاستشعار عن بعد ونظم المعلومات الجغرافية، والتقييم والمفاضلة في استخدام المرئيات وطرق التفسير في الكشف عن مظاهر التصحر خلال الفترة المذكورة.

المواد والطرائق:

الوصف العام لمنطقة الدراسة.

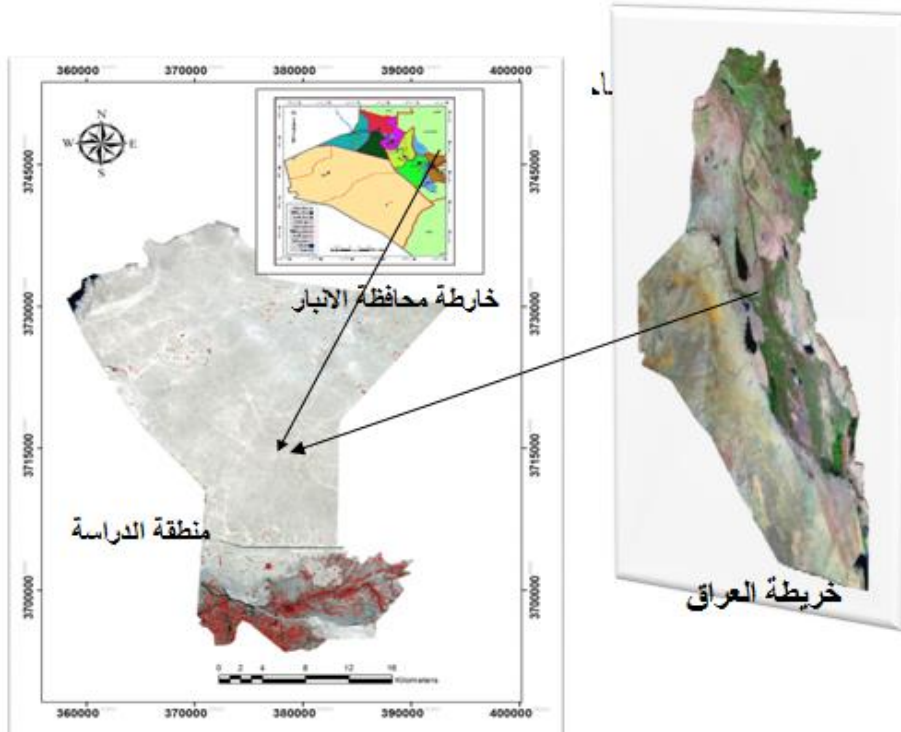
تقع منطقة الدراسة في ناحية الصقلاوية التابعة لمحافظة الانبار، وعلى بعد 9 كم شمال غرب مدينة الفلوجة وعلى الجانب الأيسر لنهر الفرات. تبلغ مساحتها الإجمالية نحو 81864 هكتار وهي محصورة بين خط طول (28° 43' و 51° 43') شرقاً، و دائري عرض (33° 33' و 46° 33') شمالاً والمكافئة للمسار (Path) 37 و الصف (Row) 169. يحدها من الشمال قضاء سامراء وبحيرة الثرثار ومن الجنوب نهر الفرات ومقاطعة 5 النساخ ومن الشرق ناحية الكرمة ومن الغرب ناحية الحبانية كما موضح في (شكل-1). أما مناخ منطقة الدراسة فيوصف بالقاري شبه القاحل الذي يتميز بشتاء قليل الإمطار وبصيف حار طويلاً جاف. كما يتميز بارتفاع معدلات درجات الحرارة ومعدلات رطوبة متفاوتة بين فصلي الشتاء والصيف مع ارتفاع معدلات التبخر وخاصة في فصل الصيف وكما موضح في (جدول-1). تسود في منطقة الدراسة كل من نباتات الطرفية Tamarix sp. Imperata cylindrical mannifer sp. والخلفاء Al- hagim medic aurorum والثيل Schanginia actylon Cynodond aegyptiaca يتصرف النبات الطبيعي في منطقة الدراسة بندرته وضعف نموه بسبب قلة الأمطار كما ورد سابقاً وبعض ظروف التربة غير المؤاتية للنمو. ويمكن تصنيف أراضي منطقة الدراسة حسب استخدامها إلى، أراضي محاصيل حقلية، وأراضي محاصيل خضراء، وبساتين فاكهة ونخيل،

المقدمة:

يعد الاستشعار عن بعد أحد أهم مصادر المعلومات الأرضية المتاحة والتي تسمح بالرصد المنظم للظواهر وبائل التكاليف، كما تساعد في رصد ومتابعة الأرض ومواردها وإجراء المقارنات بين فترات زمنية مختلفة وإنجاز الخرائط (سالم، 1995).استخدم العلي وأخرون، 2010 طريقة التفسير البصري والتصنيف غير المراقب في متابعة تدهور الغطاء النباتي، وأشاروا في دراستهم إلى تفوق التصنيف غير المراقب على التفسير البصري في الكشف عن الأغطية الأرضية وتدهور الغطاء النباتي.أظهرت دراسة قام بها الجميلي، 2012 باستخدام دليل الغطاء النباتي NDVI للكشف عن التغيرات الحاصلة في الغطاء النباتي في قضاء الرمادي، وتوصل إلى حصول انخفاض في المساحة خلال الفترة من عام 2001 إلى عام 2010. واستعلن Ahmed and Ahmed, 2013 بدليل الغطاء النباتي NDVI كأدلة تطبيقية لمراقبة الأرضي المحيطة ببحيرة حمراء وتحديد كثافة الغطاء النباتي. وتمكن الباحثان من تصنيف كثافة الغطاء النباتي إلى ثلاثة مستويات هي؛ عالية الكثافة ومتوسطة الكثافة وقليل الكثافة استناداً إلى قيم الدليل. أظهرت نتائج الدراسة التي قامت بها الجاسر، 2009 في مدینتي بريدة وعنيزة السعودية وباستخدام مرئيات القمر لاندستات-5 الملتقطة خلال الفترة 1986 و 1996، ومرئيات القمر الفرنسي SPOT-4 الملتقطة خلال عام 2007، أن هناك انحساراً في مساحة الأرضي الزراعية بسبب التوسع العماني، كما أظهرت النتائج أن التوسع الأفقي هو أللنمط السائد في المدينتين. واستعلن Shalaby and Gad, 2010 بتقانة الاستشعار عن بعد ونظم المعلومات الجغرافية للتقييم أثار الزحف العماني على الأرضي الزراعية في مدينة القليوبية بمصر للفترة من 1993 - 2009 مستخددين مرئيات القمر لاندستات 5 و 7 وللعامين 1993 و 2001 على التوالي، ومرئيات القمر المصري Egypt-sat-1 لعام 2009، وأظهرت نتائج الدراسة انحسار شديد للأرضي الزراعية الخصبة بسبب التوسع العماني على حساب تلك الأراضي.توصل Kumar et. al, 2012 إلى دليل يستخدم فيه أنعكاسية الأشعة المرئية الزرقاء وانعكاسية الأشعة تحت الحمراء القريبة لعزل صنف الابنيه عن غيرها من أصناف أغطية الأرض، سماه دليل الإظهار العالمي للابنيه (WV-BI). وتوصلت دراسة قام بها Kafi, et.al., 2014 أن معطيات الاستشعار عن بعد ونظم المعلومات الجغرافية لمدينة Bauchi الواقعة شمال شرق نيجيريا، وبالاستعانة بمرئيات OLI ETM⁺

والمرزوقي في منطقة الدراسة. وتستخدم المضخات لرفع المياه من نهر الفرات وجداول الصقلاوية وذراع دجلة لأغراض الري، وإن أغلب قنوات الري الرئيسية والفرعية والحقولية غير نظامية وغير مبطنة. أما البزل في منطقة الدراسة فيتمثل بوجود أعداد قليلة من المبازل الرئيسية المفتوحة المهملة والتي أصبحت مكبًا للنفايات ومرتع النمو نباتات القصب وبكتافه عالية إلى الحد الذي أدى إلى انسدادها وتعطلها عن العمل، وتوقف أغلب محطات السحب، فضلًا عن توقف عمليات الكري والصيانة لها.

وأراضي لإنتاج الحيواني، وأراضي متربوبة. وتعد كل من الخنطة والشعير والجت والبرسيم والذرة الصفراء والبيضاء من محاصيل الحقل الأساسية التي تزرع في منطقة الدراسة. في حين تعد كل من الطماطم والبامية والخيار والباذنجان واللوبيا والباقلاء من محاصيل الخضر السائد زراعتها. أما أراضي البساتين فتسود الحمضيات واللوزيات والنخيل فيها. ويربي سكان المنطقة الأبقار والأغنام والماعز كما تنتشر بأعداد قليلة حقول تربية الدجاج والمزارع السمكية. تسود طرائق الري السيحي المنخفضة الكفاءة كالري الشرطي



شكل-1: خريطة توضح موقع منطقة الدراسة بالنسبة للعراق ومحافظة الانبار.

جدول - 1: البيانات المناخية الخاصة بمنطقة الدراسة للفترة 1981-2010 (*)

مجموع التبخر (حوض أم)	الرطوبة % النسبية	معدل الأمطار الشهري mm	معدل درجات الحرارة (°C)	
68.7	75	21.7	9.2	كانون الثاني
95.5	65.3	16.7	11.7	شباط
151.5	56.4	12.7	16.2	اذار
198.4	50	14.4	21.9	نيسان
283.1	41	5.3	27.6	مايس
369.9	34.4	0.1	31.9	حزيران
442.7	32.4	0	34.2	تموز
404.2	35.2	0	33.3	آب
298.5	40.1	0.4	29.7	أيلول
207.5	51.8	8.2	24.5	تشرين الأول
118.4	65.4	15.7	16	تشرين الثاني
75.6	76	15.7	11.6	كانون الأول
2713.9	51.9	110.7	22.3	المعدل السنوي

(*) المصدر: الهيئة العامة للأتواء الجوية (محطة الرمادي للفترة من 1981-2010).

الزمي لألصناف الأغطية الأرضية، وحسب ما مبين في (جدول-2). تم الحصول على ثلاث مركبات فضائية بالمواصفات والتاريخ المدونة في (جدول-3) من الموقع الرسمي لدائرة المسح الجيولوجي الأمريكي (USGS) مأخوذة بالتحسين OLI TM المحمولين على متن القمر الأمريكي لاندست 5-لاندست 8، حسب الترتيب وللأعوام 1984 و2000 و2015.

تهيئة الخرائط والتقارير:

تم الحصول على خريطة طبوغرافية لمنطقة الدراسة بمقاييس رسم 1:50000 منجزة عام 2002. تم تحويل الخرائط الطبوغرافية إلى خرائط رقمية باستخدام برنامج Arc GIS لغرض استقطاع منطقة الدراسة وذلك بعمل طبقة (shape file). تم جمع البيانات المتعلقة بأعداد السكان وعدد المساكن وعدد الأسر في ناحية الصقلاوية للفترة 1977-2010 وربطه بالتغير لدراسة حالة التغير الزمني في هذه المؤشرات السكانية،

جدول- 2 :بيانات السكانية لناحية الصقلاوية للفترة 1977-2010(*)

عدد السكان	ريف		حضر		عدد الأسر	عدد المساكن	الفترة
	إناث	ذكور	إناث	ذكور			
12931	5883	5706	681	661	1552	1414	1977
18197	7910	7894	1149	1244	1785	1724	1987
30053	13162	12976	1960	1955	لاتوجد بيانات	لاتوجد بيانات	1997
37962	لاتوجد بيانات	2010					
99143	26955	26576	3790	3860	3337	3138	المجموع

(*) المصدر: دائرة إحصاء الفلوجة

جدول - 3 : مواصفات المركبات الفضائية المستخدمة في الدراسة(*)

Satellite type	Sensor	Path/ Row	Date	Temporal
Land sat 5	TM	169/37	12/4/1984	1984
Land sat 5	TM	169/37	7/3/2000	2000
Land sat 8	OLI/TIRS	169/37	18/4/2015	2015

(*) المصدر: الموقع الرسمي لدائرة المسح الجيولوجي الأمريكية/<http://earthexplorer.usgs.gov/>

لتكيير (Zoming) أي جزء من أجزاء المرئية وزيادة وضوح مایحوية هذا الجزء من معلم أرضية. تم استقطاع منطقة الدراسة باستخدام برنامج ERDAS-2014 وبالاستعانة بطبقة (Shape file). تم إجراء التصحيح الإشعاعي Radiometric Correction لمركبات الفضائية. استخدمت الحزم الطيفية الخضراء المرئية (G)، والحزمة الحمراء المرئية (R)، والحزمة تحت الحمراء القريبة (NIR) من أجل التفسير البصري لمركبات الاعوام 1984 و2000 و2015، حسب الترتيب. في استخدام دليل الابنية (WV-BI) تم استخدام الزرقاء المرئية (B)، اضيفت حزمة (Panogrammatic) OLI لزيادة قدرة التمييز المكاني إلى 14.8 م.

العمل في بيئة GIS وERDAS :

استخدم برنامج ERDAS IMAGIN 2014 لتحويلها من الحالة المضغوطة إلى الحالة الاعتيادية وتم تحويلها من صيغة tiff إلى صيغة image وذلك للإسقاطة من البيانات الإحصائية الخاصة بكل مرئية. وبهدف الحصول على معلومات دقيقة عن الغطاء النباتي، وتحسين قيم الدلائل الطيفية المستخدمة في الدراسة. التي شملت على دليل الفرق الطبيعي للغطاء النباتي (NDVI)، ودليل الإظهار العالمي للأبنية (WV-BI)، فقد استخدمت المركبات للفصل الريعي. تمت الاستعانة ببرنامج Google earth pro و Google earth

shape (لذلك الخرائط، لعمل طبقة Georeferencing) file لحدود منطقة الدراسة لإجراء عملية الاستقطاع المنتظم (subset image).

2- حساب قيم الدلائل الطيفية باستخدام برنامج Arc GIS ضمن المسار الآتي: Toolbox<spatial analyst Tool<Map

Algebra <Raster Calculator

3- أعادة تصنيف الأدلة الطيفية حسب قيم كل صنف من

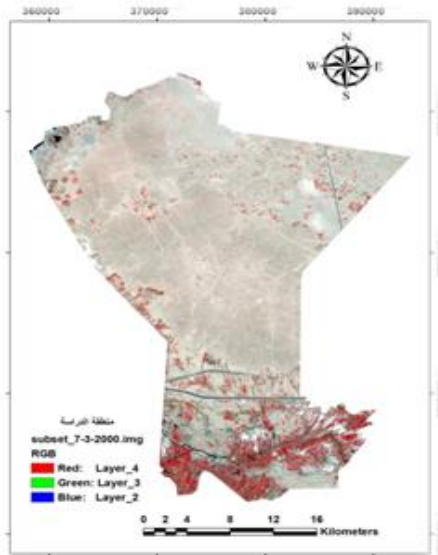
أصناف الأغطية الأرضية وضمن المسار الآتي:

ARC Toolbox<spatial analyst Tool
 . <Reclassify<Reclassify

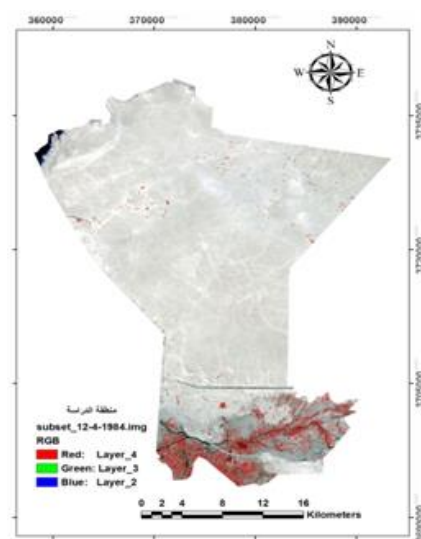
تفسير المرئيات:

تمت عملية التفسير للمرئيات الفضائية بطريقتين هما التفسير البصري، والتصنيف غير المراقب. استخدم دليلي الفرق الطبيعي للغطاء النباتي، ودليل الأبنية (WV-BI) لتحديد كثافة الغطاء النباتي والزحف العمراني في منطقة الدراسة، ويوضح (جدول-4) أهم الدلائل المستخدمة وطريقة حسابها. استخدم برنامج Arc GIS 10.2 لإجراء العمليات الآتية:

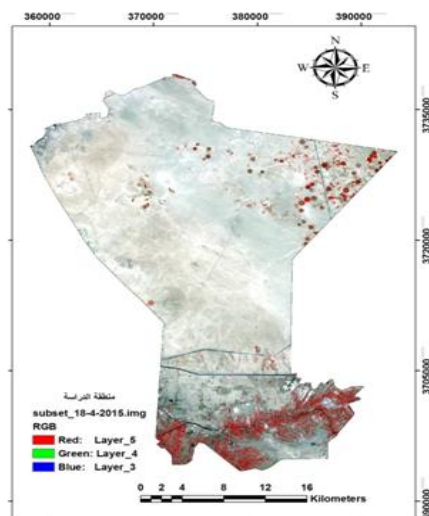
1- تحويل الخرائط الطوبوغرافية الممسوحة ضوئياً بواسطة جهاز الماسح (scanner) إلى خرائط رقمية عن طريق إجراء عملية الإرجاع الجغرافي



شكل-3: مرئية محضرة بالحزم الطيفية (TM2 و TM3 و TM4) للعام 2000



شكل-2: مرئية محضرة بالحزم الطيفية (TM2 و TM3 و TM4) للعام 1984



شكل-4: مرئية محضرة بالحزم الطيفية (OL3 و OL4 و OL5) للعام 2000

=B= انعكاسية الموجة الزرقاء المرئية (الانعكاسية المسجلة في الحزمة TM1 بالنسبة للقمر لاندستس-5 والانعكاسية المسجلة في الحزمة OLI1 بالنسبة للقمر لاندستس-8).

تم إنتاج الخرائط النهائية للغطاء النباتي والزحف العماني باستخدام البرنامج Arc map الإيعاز Layout لتنفيذ عملية الإخراج من مرئيات الفصل الربيعي وللسنوات 1984 و2000 و2015.

=NIR=انعكاسية الموجة تحت الحمراء القريبة (الانعكاسية المسجلة في الحزمة TM4 بالنسبة للقمر لاندستس-5 والانعكاسية المسجلة في الحزمة OLI5 بالنسبة للقمر لاندستس-8).

=R=انعكاسية الموجة الحمراء المرئية (الانعكاسية المسجلة في الحزمة TM3 بالنسبة للقمر لاندستس-5 والانعكاسية المسجلة في الحزمة OLI4 بالنسبة للقمر لاندستس-8).

جدول - 4 : الدلائل الطيفية المستخدمة في منطقة الدراسة

Index	Full Name	Formula	Reference
NDVI	دليل الفرق الطبيعي للغطاء النباتي Normalized Difference Vegetation Index	R).. (1) $NDVI = (NIR-R) / (NIR+R)$	Rouse et. al., 1974
WV-BI	دليل الإظهار العالمي للأبنية World View Built-up Index	WV-BI=(B- NIR) / (B+ NIR)..(2)	Kumar et. al.,2012

الملحية، وصنف الأرضي المتعددة والأجسام المائية وصنف الأبنية. ومنها يلاحظ انحسار صنف الغطاء النباتي خلال عام 2015 وأقتصر على أنواع دون أخرى. وقد ظهر هذا الصنف على المرئية باللون الأحمر. ومن المتوقع أن أصناف أنواع الغطاء النباتي الظاهرة في المرئية تمثل بساتين النخيل والفاكهه، أما أنواع الغطاء النباتي التي أخذت من مرئية عام 2015 فمن المتوقع أن تكون محاصيل الحقل والخضر. وتعود هذه النتيجة إلى نزوح السكان وعدم تمكن الباقين منهم من ممارسة نشاطهم الزراعي بسبب العمليات العسكرية التي سادت في المنطقة خلال هذا العام. أما صنف الأبنية فقد ظهر على مرئية OLI لعام 2015 بلونبني فاتح. ويمثل الدور السككية العائدة للمواطنين، والدوائر الحكومية، والمنشآت العسكرية، وكذلك الأبنية ذات الطابع التجاري والصناعي. ويعزى ظهور هذا الصنف على مرئية OLI وغيابه على مرئيتي TM بالرغم من وجوده على الواقع الحال، إلى قدرة التمييز لمكانى لمرئية OLI، إذ تبلغ نحو 15 م في حين تبلغ قدرة التمييز المكانى لمرئية TM نحو 28.5 م، وقد بدا هذا الصنف منتشرًا ومتدخلاً مع الأرضي الزراعية والأرضي المتربوكة.

مساحات أصناف أغطية الأرض:

يوضح (جدول-5) مساحات أصناف أغطية الأرض المشخصة بصرياً، ومنه يتضح وجود تبايناً زمنياً في كل من مساحة الصنف ونسبة المئوية من المساحة الكلية لمنطقة الدراسة. اذ بلغت مساحة صنف الأرضي المصنفة كغطاء نباتي نحو 6807 و6148 و23211 هكتار وبما يشكل نحو 7.5% و28.3% و28.3% من المساحة الإجمالية، خلال الأعوام 1984 و2000 و2015، حسب الترتيب. أما الأرضي المصنفة كأبنية فقد كانت مساحتها المحسوبة بالطرح خلال العامين 1984 و2000 نحو 203 هكتار و653 هكتار، وبلغت نسبتها

النتائج والمناقشة

التفسير البصري للمرئيات الفضائية:

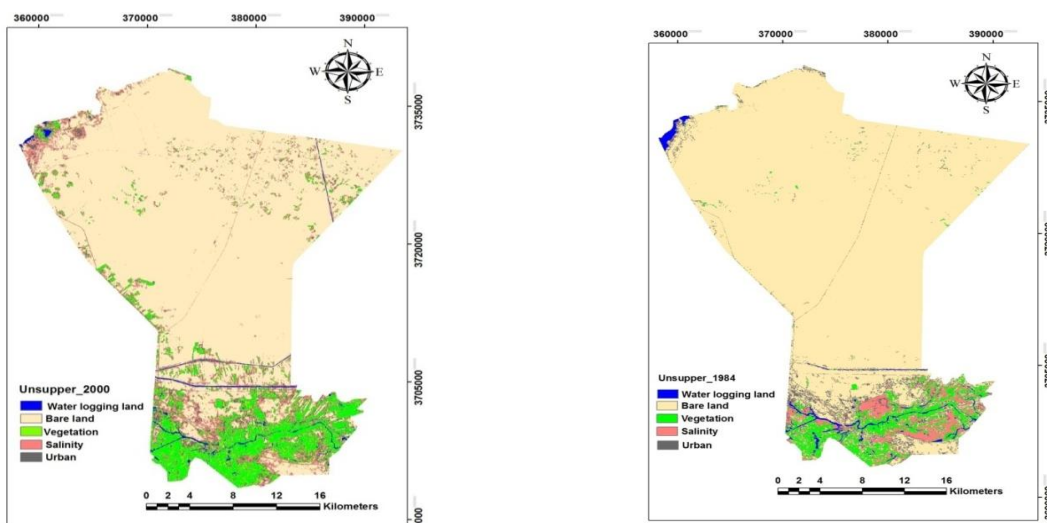
تشير نتائج عملية التفسير البصري لمرئية الراسم المواضعي (TM) لعام 1984 (الشكل 4-) إلى وجود أربعة أصناف من أغطية الأرض هي؛ صنف الأرضي المتربوكة، والغطاء النباتي، والأرضي الملحية، والأرضي المتعددة والأجسام المائية. وقد ظهر صنف الغطاء النباتي على المرئية باللون الأحمر. تباين توزيع هذا الصنف في منطقة الدراسة، وتركز بشكل كبير في المناطق القريبة من مصادر المياه وخاصة في المناطق الجنوبية والجنوبية الشرقية من منطقة الدراسة، زيادة على وجوده وبشكل قليل في المناطق الشمالية والشمالية الشرقية وبعد تلك المناطق عن مصادر المياه المنتشرة بنهر الفرات. أما نتائج التفسير البصري لمرئية الراسم المواضعي (TM) لعام 2000 (الشكل 5-)، فقد أظهرت نفس أصناف أغطية الأرض الظاهرة على مرئية TM لعام 1984. وبدا صنف أراضي الغطاء النباتي على مرئية TM لعام 2000 باللون الأحمر. وعند المقارنة البصرية بين مرئيتي TM لعامي 1984 و2000، يلاحظ أن صنف الغطاء النباتي يبدو أكثر انتشاراً على مرئية TM لعام 2000. ويعزى ذلك إلى تحول جزء من صنف الأرضي المتربوكة إلى أراضي غطاء نباتي. أن الحصار المفروض على القطر خلال التسعينات أدى إلى تبني سياسة زراعية ترمي إلى زيادة الناتج الزراعي المحلي وصولاً إلى تحقيق الأمن الغذائي وذلك من خلال استغلال الأرضي الزراعية المتربوكة وتوفير حصة مائية لها من خلال حفر الآبار واعتماد طرائق ري مرتفعة الكفاءة كالرش والتقطيط. وأشارت نتائج التفسير البصري لمرئية المتنحсс (OLI) لعام 2015 (الشكل 6) إلى وجود خمسة أصناف من أغطية الأرض هي صنف الأرضي المتربوكة، وصنف الغطاء النباتي، وصنف الأرضي

ويعزى اختلاف طريقة حساب مساحة أراضي هذا الصنف خلال العامين 1984 و2000 من ناحية

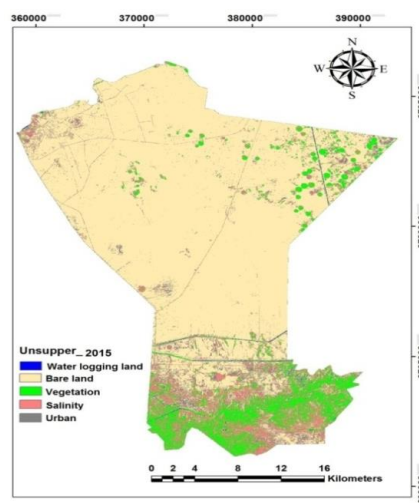
نحو 0.2% لنفس العامين حسب الترتيب أما مساحة أراضي هذا الصنف عام 2015 والمحسوبة فعلياً من مرئية OLI فكانت نحو 1081 هكتار وبنسبة

جدول-5: التباين الزمني لمساحات أغطية الارض وفقاً لطريقة التفسير البصري

2015		2000		1984		Land cover
%	Area/ha	%	Area/h	%	Area/ha	
%7.5	6148	%28.3	23211	%8.3	6807	Vegetation
%1.3	1081	%0.8	653	%0.2	203	Urban
%91.2	74635	%70.9	58000	%91.5	74854	Others
%100	81864	%100	81864	%100	81864	Total



الشكل- 8: أصناف أغطية الارض الظاهرة على مرئية TM لعام 2000 وفقاً لطريقة التصنيف غير المراقب.



الشكل - 9 : أصناف أغطية الارض الظاهرة على مرئية OLI لعام 2015 وفقاً لطريقة التصنيف غير المراقب.

نتائج التفسير البصري وخصوصاً مع نتائج عام 2000، إذ بلغ الفارق الكمي نحو 17% وكما مبين من الجدولين (5 و 6). أما صنف الأبنية فقد بلغت مساحتها نسبتها نحو 2709 و 4059 هكتار وبما يكفي 5216 هكتار و 2000% 3.3% و 6.4% للأعوام 1984 و 2000، حسب الترتيب. وقد اتفقت هذه النتيجة من حيث المنحى العام ألا أنها أختلفت كمياً عن النتائج المتحصل عليها بالتقدير البصري وللأعوام الثلاث.

أن التفاوت الكمي في مساحات صنف الأبنية المزعولة بالطريقتين، يعود إلى صغر مساحات الأبنية وانتشارها بين الأصناف إلى الحد الذي يجعل عزلاً بصرياً غير ممكن، كما أن عزلاً بساطة التصنيف غير المراقب للمرئيات ذات قدرة التمييز المكانية المنخفضة (مرئيات TM) والمنخفضة نسبياً (مرئيات OLI) سيصاحبه تداخلاً في عدد العنصرات الممثلة لصنف الأبنية مع العنصرات الممثلة لباقي الأصناف، فضلاً إلى أن قسم من العنصرات ستكون مختلطة (Mixel) أي جزء منها يمثل الأبنية والجزء الآخر يمثل باقي الأصناف وهذا ينعكس على دقة عزل الصنف وعلى ما يمثله من مساحة.

و 2015 من ناحية أخرى إلى أن مرئيتي TM المستخدمة قد أشار لها العلي وأخرون، 2010، إذ ذكرروا بأن طريقة التصنيف غير المراقب تساعد في عزل أغطية الأرض وتصنيفها بشكل أكثر من طريقة التفسير البصري الذي يحتاج إلى خبرة واسعة في تشخيص عالم سطح الأرض، وهي طريقة تساعدنا في التخلص من الأخطاء التي قد تحصل عند إنشاء طبقات (Layer) في عملية الرسم.

Arc GIS برنامج

مساحات أصناف أغطية الأرض:

يبين جدول (6) مساحات ونسب الأغطية الأرضية المشخصة على المرئيات وفقاً لطريقة التصنيف غير المراقب وللأعوام 1984 و 2000 و 2015 ومنه يتضح أن مساحة أراضي صنف الغطاء النباتي ونسبة من المساحة الإجمالية قد بلغت نحو 4071 و 9167 و 6438 هكتار وبما يكفي 5.0% و 11.2% و 7.9% للأعوام 1984 و 2000 و 2015، حسب الترتيب. وهذه النتيجة اتفقت من حيث المنحى العام وأختلفت كمياً مع

جدول- 6 : التباين الزمني لمساحات أصناف الأرض وفقاً لطريقة التصنيف غير المراقب

2015		2000		1984		Land cover
%	Area/ha	%	Area/h	%	Area/ha	
%7.9	6438	%11.2	9167	%5.0	4071	Vegetation
%6.4	5216	%5.0	4059	%3.3	2709	Urban
%85.7	70210	%83.8	68638	%91.7	75084	Others
%100	81864	%100	81864	%100	81864	Total

الأصناف الأخرى للأعوام 1984 و 2000 و 2015، حسب الترتيب، ماهي إلا مؤشر على وجود نبت طبيعى بري أو مائي بكتافة دنيا في هذه الأصناف. أما التفاوت في القيم الموجبة للدليل، فإنه مؤشر على تفاوت نوعية وكثافة الغطاء النباتي وهذا ما أكدته الاستطلاع الميداني للباحث لمنطقة الدراسة، إذ تبين خلاله وجود بساتين فاكهة ونخيل بكثافات مختلفة فضلاً عن محاصيل حقلية مختلفة أبرزها الجت والبرسيم والباقلاء والشعير والحظنة، أن المنحى العام لمديات قيم الدليل لصنف الغطاء النباتي تتفق مع نتائج التفسير البصري والتصنيف غير المراقب للمرئيات. إذ تشير هذه المديات ان أعلى كثافة للغطاء النباتي كانت عام 2000، وإن كثافته خلال عام 2015 أقل من كثافته خلال عام 1984، وقد تم مناقشة هذه النتيجة في فقرتي التفسير البصري والتصنيف غير المراقب للمرئيات. أما ارتباط القيم الموجبة بوجود الغطاء النباتي فهذا يعزى إلى العلاقة الفسيولوجية التي أشار إليها كل من Jenesen, 2007 والمشهداني والكبيسي، 2014، والتي تتضمن قيام الغطاء النباتي بعكس أكبر كمية من

دليل الفرق الطبيعي للغطاء النباتي (NDVI):

استخدمت قيم دليل الفرق الطبيعي للغطاء النباتي (NDVI) المحسوبة وفق المعادلة (1) وباستخدام برنامج Arc GIS لعزل صنف الغطاء النباتي عن بقية أصناف غطاء الأرض التي تكاد تكون خالية أو شبة خالية من الغطاء النباتي. يشير جدول (7) أن قيم الدليل لصنف الأرض المشخصة كغطاء النباتي قد تراوحت بين (0.49-0.08) و (0.62-0.02) و (0.12-0.049) للأعوام 1984 و 2000 و 2015، حسب الترتيب. أما بقية الأصناف الأخرى لأغطية الأرض فقد تراوحت قيم الدليل بين [(-0.08)-(0.53)] و [(-0.42)-(0.02)] و [(-0.2)-(0.12)] لنفس الأعوام السابقة الذكر، حسب الترتيب. بأن القيم الموجبة للدليل تشير إلى وجود الغطاء النباتي (المشهداني والكبيسي، 2014؛ Jenesen, 2007)، لذا يلاحظ أن قيمة الدليل لغطاء الأرض المصنفة كغطاء نباتي جميعها موجبة مما يؤكد صحة العزل والتصنيف. وأن ظهور القيم الموجبة (0.08) و (0.02) وهي حدود عليا في

ان قيم الدليل تصبح موجبة عندما تزيد انعكاسية الأشعة تحت الحمراء القريبة على انعكاسية الأشعة الحمراء المرئية.

الأشعة تحت الحمراء القريبة وامتصاص أكبر كمية من الأشعة الحمراء المرئية وبالعودة إلى المعادلة (1) يتضح

جدول- 7 : قيم دليل الفرق الطبيعي للغطاء النباتي NDVI لصنفي الغطاء النباتي، والأصناف الأخرى في منطقة الدراسة

Land cover	NDVI		
	1984	2000	2015
Vegetation	0.08-0.59	0.02-0.62	0.12-0.49
Others	-0.53- 0.08	-0.42- 0.02	-0.20- 0.12

دليل الإظهار العالمي للأبنية (WV-BI):

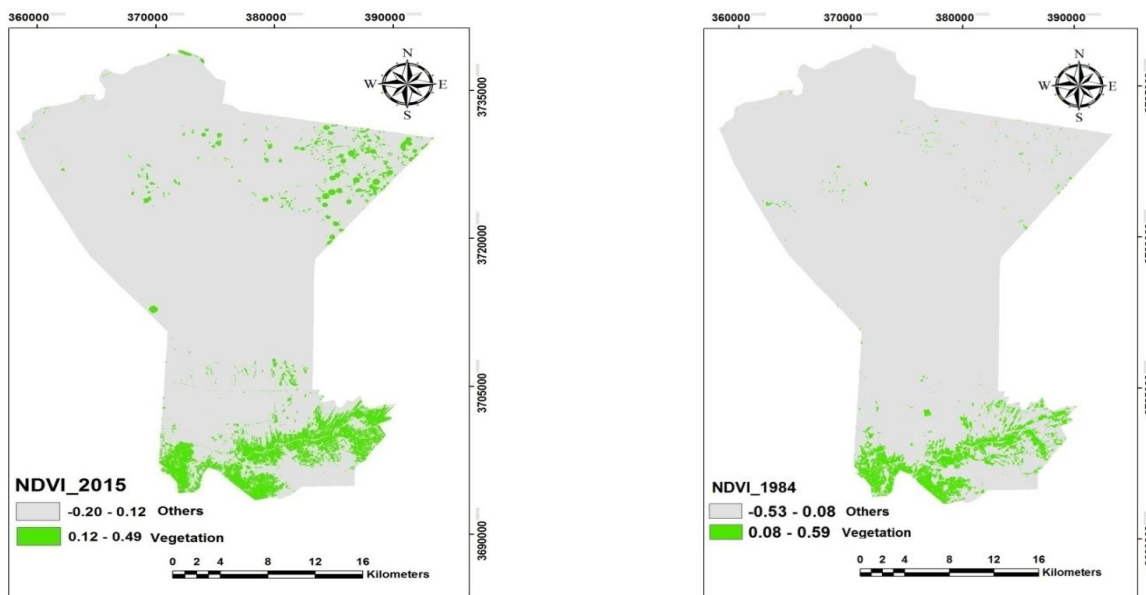
يوضح جدول (10) دليل صنف الأبنية (WV-BI) وهو أحد أصناف أغطية الأرض المشخصة في منطقة الدراسة والمحسوبة باستخدام برنامج Arc GIS وفقاً للمعادلة (2) والذي يعتمد على الانعكاسية المسجلة في الحزمتين المرئية والزرقاء تحت الحمراء القريبة. ومنه يلاحظ عدم تجانس قيم الدليل خلال سنوات الدراسة. إن قيم الدليل بهذا الشكل لا يعطي مؤشرًا واضحًا على عزل الأراضي المصنفة كأبنية زمانياً ومكانياً، سيماء وإنها قد أخذت قيم موجبة في العامين 1984 و2000، وقيم سالبة في عام 2015. وقد تعود هذه النتيجة إلى أن البناء في منطقة الدراسة متباوت من حيث مادة البناء المستخدمة، إذ أشارت الجولة الميدانية للباحث في منطقة الدراسة إلى وجود المباني الحديثة استخدمت فيها مواد بناء حديثة كحديد التسليح والطابوق والبلوك الأسمنتى فضلاً إلى وجود المباني القديمة المنشيدة من الطين والتي تعطي انعكاسية مقاربة لمادة التربة بحيث لا يمكن التمييز بينها وبين صنف الأرضي المتربوكة. وما يزيد من تعقيد عملية العزل باستخدام الدليل هو انتشار الأبنية ضمن الأصناف الأخرى.

مساحات المنشآت العمرانية:

توضّح الأشكال (13 و 14 و 15) التوزيع المكاني لقيم أصناف الأغطية الأرضية خلال سنوات الدراسة 1984 و2000 و2015، حسب الترتيب باستخدام دليل الإظهار العالمي للأبنية. ويبيّن جدول (11) مساحات أصناف أغطية الأرض المشخصة باستخدام الدليل المذكور، ومنه يتضح وجود تبايناً زمنياً في كل من مساحة الصنف والنسبة المئوية من المساحة الإجمالية لمنطقة الدراسة. فقد شكل صنف الأبنية مساحة قدرها 1933 و 2889 و 3678 هكتار وبما يكفي 2.4% و 3.5% و 4.5% من المساحة الإجمالية لمنطقة الدراسة وللأعوام

مساحة الأرضي المصنفة كغطاء نباتي:

تبين الأشكال (10) و(11) و(12) خرائط التوزيع المكاني لصنفي الغطاء النباتي والأصناف الأخرى وفقاً لدليل NDVI والمستحصل بوساطة برنامج Arc GIS من مرئي TM للعامين 1984 و2000 ومرئي OLI لعام 2015، حسب الترتيب أما جدول (9) فيبيّن مساحات ونسب صنفي الغطاء النباتي والأصناف الأخرى المشخصة على الأشكال الثلاث السالفة الذكر. ومنه يتضح أن صنف الغطاء النباتي بلغت مساحته نحو 4434 هكتار و 20255 هكتار و 7147 هكتار وبما يكافي 5.4% و 24.7% و 8.7% من المساحة الإجمالية لمنطقة الدراسة وللأعوام 1984 و 2000 و 2015، حسب الترتيب. وهذه النتيجة اتفقت من حيث المنحى العام (زيادة ونقصان) مع طريقتي التفسير البصري والتصنيف غير المراقب ولجميع سنوات الدراسة، وأختلفت كمياً مع نتائج التفسير البصري لعام 1984 (الجدولين 8 و 9) ونتائج التصنيف غير المراقب لعام 2000 (الجدولين 8 و 9). إذ زادت مساحة الصنف المحسوبة بطريقة التفسير البصري على تلك المحسوبة بطريقة دليل الفرق الطبيعي للغطاء النباتي بنحو 53.7% لعام 1984، في حين زادت مساحة الصنف المحسوبة بطريقة التصنيف غير المراقب عن تلك المحسوبة بطريقة التفسير البصري بنحو 122.5%， وليس لدى الباحث تفسير لهذه النتيجة. وعند مقارنة مساحات الأصناف الأخرى ونسبها مع تلك المحسوبة بطريقة التفسير البصري والتصنيف غير المراقب يلاحظ أن الشذوذ حصل في طريقة التصنيف غير المراقب لعام 2000 فقط. وليس لدى الباحث تفسير لهذه النتيجة. أما بقية الأصناف الأخرى فقد بلغت مساحتها نحو 77430 و 6160 و 74717 هكتار وبما يكافي نحو 94.6% و 75.3% و 91.3% من المساحة الإجمالية لمنطقة الدراسة، للأعوام 1984 و 2000 و 2015، حسب الترتيب.

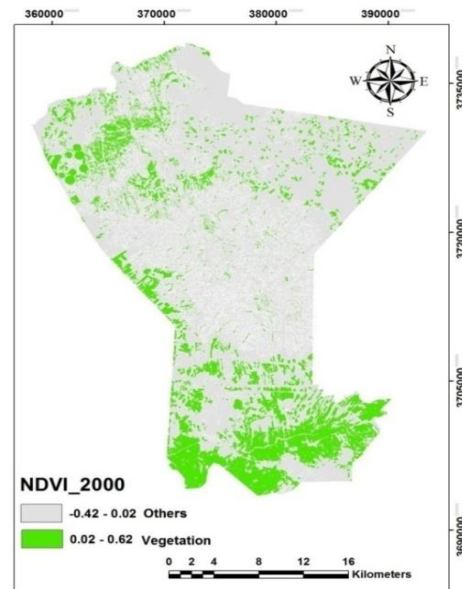


شكل- 12 : خارطة التوزيع المكاني لقيم أصناف الأغطية الأرضية على مرتبة OLI لعام 2015 باستخدام دليل NDVI.

شكل- 10 : خارطة التوزيع المكاني لقيم أصناف الأغطية الأرضية على مرتبة TM لعام 1984 باستخدام دليل NDVI.

1984 و 2000 و 2015، حسب الترتيب. وهذه النتيجة اتفقت مع طريقي التقسيم البصري والتصنيف غير المراقب من حيث المنحى العام إلا أنها أختلفت من حيث الناحية الكمية (جدول-13).

أما باقي الأصناف الأخرى فقد بلغت مساحتها 79931 78186 78975 هكتار وبما يكافئ 97.6% و 95.5% و 96.5% من المساحة الإجمالية لمنطقة الدراسة خلال الأعوام 1984 و 2000 و 2015، حسب الترتيب. ويلاحظ من نتائج الجدول وجود زيادة مستمرة في صنف الأبنية في منطقة الدراسة، وهذه الزيادة تتفق مع أحصائيات أعداد السكان والمساكن (جدول 2) ومع النقصان الحاصل في مساحات الأراضي الزراعية لعام 2015 (الجدولين 6 و 7) بسبب التجاوز الحاصل عليهما من قبل الدولة وأصحاب الأراضي الزراعية. إذ سمحت الدولة بتغيير جنس تلك الأرضي من زراعي إلى سكني، وتم منح أجزاء بناء رسمية إلى أصحاب تلك الأراضي مما زاد من مساحات الأرضي المتصرحة عمرانياً.



شكل- 11 : خارطة التوزيع المكاني لقيم أصناف الأغطية الأرضية على مرتبة TM لعام 2000 باستخدام دليل NDVI.

جدول- 8 : التغير الزمني في مساحات الأغطية الأرضية باستخدام دليل NDVI

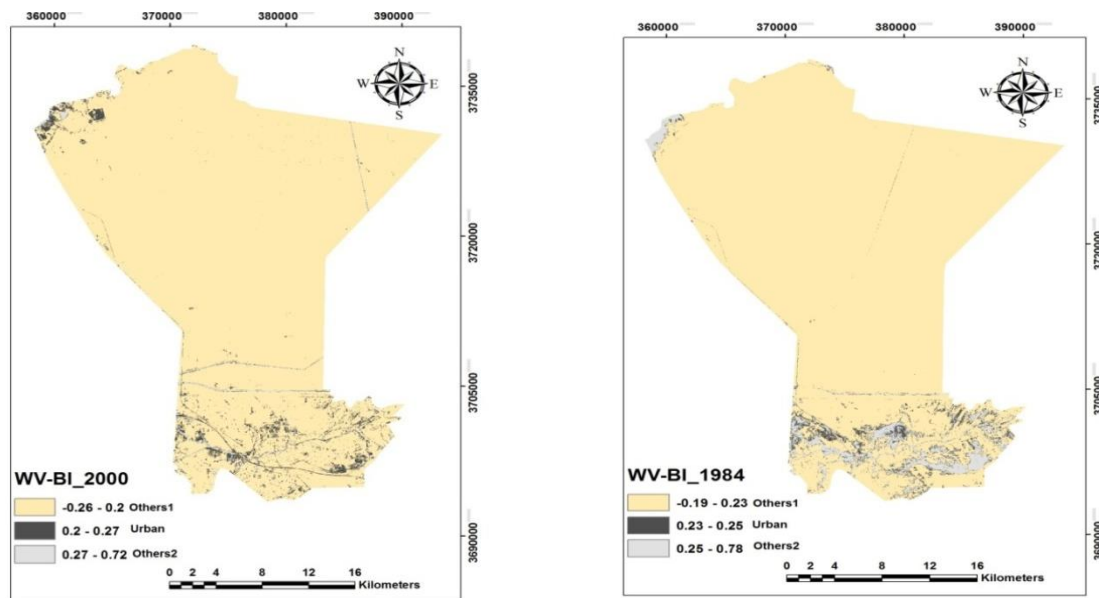
2015		2000		1984		Land cover
%	Area/ha	%	Area/h	%	Area/ha	
%8.7	7147	%24.7	20255	%5.4	4434	Vegetation
%91.3	74717	%75.3	61609	%94.6	77430	Others

جدول-9: مساحات ونسب صنف الغطاء النباتي والأصناف الأخرى من المساحة الإجمالية لمنطقة الدراسة وفقاً لطرائق الحساب الثلاث

2015		2000		1984		Method of Calculation	Land Cover
%	Area/h	%	Area/h	%	Area/h		
7.5	6148	28.3	23211	8.3	6807	Visual Interpretation	Vegetation
7.9	6438	11.2	9167	5.0	4071	Unsupervised Classification	
8.7	7147	24.7	20255	5.4	4434	NDVI	
92.5	75716	71.2	58653	93.7	75057	Visual Interpretation	Others
92.1	75426	88.9	72697	95	77793	Unsupervised Classification	
91.3	74717	75.3	61609	94.6	77430	NDVI	

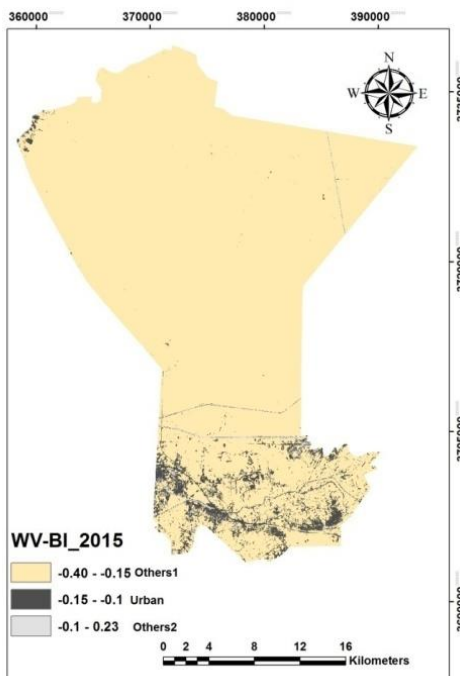
جدول-10: توزيع أصناف الأغطية الأرضية حسب قيم دليل WV-BI

Land cover	WV-BI		
	1984	2000	2015
Urban	0.23 - 0.25	0.20 - 0.27	-0.15 - (-0.10)
Others	((-0.19-0.23)& (0.25-0.78)	-0.26 - 0.20& 0.27-0.72	& -0.10 -0.23)-0.40 - (-0.15)



شكل-14: خارطة التوزيع المكاني لقيم أصناف الأغطية الأرضية على مرتبة TM للعام 2000 باستخدام دليل WV-BI.

شكل-13: خارطة التوزيع المكاني لقيم أصناف الأغطية الأرضية على مرتبة TM للعام 1984 باستخدام دليل WV-BI.



شكل-15: خارطة التوزيع المكاني لقيم أصناف الأغطية الأرضية على مرئية OLI للعام 2015 باستخدام دليل WV-BI.

جدول-11 : التباين الزمني لمساحات ونسب الأغطية الأرضية باستخدام دليل WV-BI

2015		2000		1984		Land cover
%	Area/ha	%	Area/h	%	Area/ha	
94.9	77695	95.6	78301	93.4	76501	Others1
%4.5	3678	3.5	2889	2.4	1933	Urban
0.6	491	0.9	674	4.2	3430	Others2
%100	81864	%100	81864.0	%100	81864	Total

جدول-12 : مساحات ونسب صنف الأبنية، والأصناف الأخرى من المساحة الإجمالية لمنطقة الدراسة وفقاً لطرائق الحساب الثلاث

2015		2000		1984		Method of Calculation	Land Cover
%	Area/h	%	Area/h	%	Area/h		
1.3	1081	0.8	653	0.2	203	Visual Interpretation	Urban
6.4	5216	5	4059	3.3	2709	Unsupervised Classification	
4.5	3678	3.5	2889	2.4	1933	WV-BI	
98.7	80783	99.2	81211	99.8	81661	Visual Interpretation	Others
93.6	76648	95	77805	96.7	79155	Unsupervised Classification	
95.5	78186	96.5	78975	97.6	79931	WV-BI	

الدراسة عدم كفاءة مرئيّة TM ذات قدرة التمييز المنخفضة نسبياً في عزل صنف الأبنية مقارنة بمرئيّة OLI ذات قدرة التمييز المكاني المرتفعة نسبياً.
2- بيّنت الدراسة وجود تباين في المساحات المحسوبة بطرق التفسير البصري والتصنيف غير المرافق واستخدام الأدلة الطيفية.

الاستنتاجات والتوصيات

من خلال هذه الدراسة يمكن استنتاج الآتي :

- أظهرت الدراسة تفوق التفسير الرقمي على التفسير البصري في عزل أصناف أغطية الأرض باستخدام مرئيات ذات قدرة تمييز منخفضة نسبياً كما أثبتت

- 2- نوصي باعتماد برامجيات نظم المعلومات الجغرافية (GIS) الحديثة في تحليل البيانات المتحصل عليها من المرئيات الفضائية نظراً لما تمتاز به هذه البرمجيات من قدرة فائقة على التحليل والإظهار وعرض المعلومات بشكل دقيق وسريع مقارنة بالوسائل التقليدية.
- 3- لمتابعة الزحف العمراني على الأراضي الزراعية، نوصي باستخدام مرئيات ذوات قدرة تمييز مكاني عالية كمرئيات القرم الهندي IRS والقمران الأمريكية Quick Bird وIKONOS من أجل الحصول على نتائج دقيقة.
- 4- نوصي أصحاب القرار ببس قوانين رادعة تحد من التجاوز على الأراضي الزراعية وتحويلها إلى أصناف أخرى لا تمت إلى الزراعة بشيء، واستغلال الأراضي الصحراوية غير المنتجة في إقامة المشاريع غير الزراعية.

سالم، بشري بكر محمود. 1995. استخدام نظم المعلومات الجغرافية والاستشعار عن بعد وبنوك المعلومات في إدارة موقع التراث الطبيعي. محاضرة ألقى في الدورة التدريبية الثالثة في إدارة المناطق المحمية في الوطن العربي. اللجنة الوطنية للتربية والعلوم والتربية (اليونسكو).

العلي، جميل طارش، علي حمصي ذياب وقاسم السعدي، محمود. 2010. تحديد مناطق التصحر باستخدام الاستشعار عن بعد ونظم المعلومات الجغرافية في محافظة المنيا. مجلة أوروك للباحث العلمية. المجلد الثالث، العدد 3. ص 11.

المشهداني، أحمد صالح، وأحمد مدلول الكبيسي، 2014. علم التحسس النائي. وزارة التعليم العالي والبحث العلمي، جامعة بغداد/ كلية الزراعة. الدار الجامعية للطباعة والنشر والترجمة. ص 339-1.

REFERENCES:

- Ahmed,M. A, and A. Walid. A. 2013. Using Normalized Difference Vegetation Index (Ndvi) To Assessment TheChange OfVegetation Cover In Surrounding Area Of Himreen Lake. Iraqi J., S. 54(4): 895 - 901
- Boori, M. S., Netzband, M., Choudhary, K. and Voz'enilek, V.2015. Monitoring and modeling of urban sprawl through remote sensing and GIS in Kula Lumpur, Malaysia. aspringer open J. 4:15. <http://earthexplorer.usgs.gov/>.United state geological survey.
- Jensen, J. R . 2007 ."Remote Sensing of Environment An Earth Resource Perspective"2nd ed . QE33.2.R4J46.
- Kafi, K.M. ; H.Z.M. Shafri and A.B.M. Shariff . 2014. An analysis of LULC change detection using remotely sensed data; A Case study of Bauchi City. 7th IGRSM International Remote Sensing & GIS Conference and Exhibition.

3- أظهرت الدراسة كفاءة دليل الفرق الطبيعي للغطاء النباتي في عزل صنف الغطاء النباتي، في حين لم يثبت دليل الإظهار العالمي للنباتي كفاءة في عزل صنف الأبنية على المرئيات.

4- اسهمت تقانة نظم المعلومات الجغرافية GIS في عرض النتائج التي تم الحصول عليها من تحليل المرئيات الفضائية على شكل خرائط صورية لكل من الغطاء النباتي والزحف العمراني وتحديد نمط توزيعهما مكانيًا وحساب مساحاتهما ونسبهما. وفي ضوء ما تقدم نوصي يأتي:

- 1- اعتماد تقانة الاستشعار عن بعد ونظم المعلومات الجغرافية في متابعة حالة تدهور الغطاء النباتي، والتوعي العماني على الأراضي الزراعية نظراً لما لهاتين التقانتين من سمات، غير متوفرة في التقانات التقليدية، كالشمولية والتكرارية الزمنية، فضلاً عن اختزال الجهد والوقت والتكاليف.

المصادر:

- الجاسر، لميحة بنت عبد العزيز بن محمد. 2008. التعدي العماني على حساب الرقعة الزراعية في مدینتي بريده في الفترة 1986-2007 باستخدام نظم الاستشعار عن بعد ونظم المعلومات الجغرافية. الملتقى الخامس للجغرافيين العرب، الجمعية الجغرافية الكويتية، الكويت. ص 865-888.
- الجميلي، مشعل محمود فياض. 2012. دراسة تغيرات الغطاء النباتي والمائي في قضاء الرمادي باستخدام تقانات الاستشعار عن بعد ونظم المعلومات الجغرافية. مجلة الانبار للعلوم الزراعية. 10(1): 156-173.

IOP Conf. Series: Earth and Environ Sci 20: (2014) 012056.

- Kumar,A., A . C. Pandey & A.T. Jeyaseelan .2012.Built-upand vegetation extraction and density mapping using Word View-II.
- Lillesand,T.M. ; and R.W., Kiefer .2000 Remote Sesing and Image Interpretation . John Wiley & Sons, Inc.New York.P725.
- Rouse, J. W.; R. W. Haas; J. A. Schel; D. W. Deering; and JC.Harland,1974. Monitoring the vernal advancement and retrogradation (green wave affect) of natural vegetation. NASA/GSFC Type 3Final report,md,USA.
- Shalaby, A. and A. Gad. 2010. Urban Sprawl Impact Assessment on the Fertile Agricultural Land of Egypt Using Remote Sensing and Digital Soil Database, Case study: Qalubiya Governorate. US-Egypt Workshop on Space Technology and Geo-information for Sustainable Development, Cairo, Egypt.